

مطالعه بی‌هنجاري گردنش‌های جوي همراه شده با فعاليت نوسان مادن-جولين و بارش زمستانه ايران

عباس رنجبر سعادت آبادي^{*} و معصومه سورى^۲

^۱ استادیار، پژوهشکده هواشناسی و علوم جو، تهران، ايران

^۲ دانشجوی کارشناسی ارشد، دانشگاه آزاد اسلامی واحد تهران شمال، تهران، ايران

(تاریخ دریافت: ۹۴/۰۸/۲۳، تاریخ پذیرش: ۹۵/۰۸/۱۰)

چکیده

در این مطالعه بی‌هنجاري الگوهای جوي همراه شده با فازهای مختلف همرفت حاره‌ای (MJO) و بارش رخ داده در هریک از این الگوها بررسی شده است. برای این منظور، از داده‌های روزانه میدان‌های فشار، ارتفاع زئوپتانسیلی، سمت و سرعت باد از مرکز NCEP/NCAR و داده‌های روزانه بارش ۴۷ ایستگاه همدیدی کشور برای ماههای دسامبر، ژانویه و فوریه استفاده شد. بی‌هنجاري‌های بارش و الگوهای گردنش جوي همراه شده با هریک از فازهای هشتگانه MJO مطالعه شد. نتایج نشان داد که بی‌هنجاري الگوهای فشاری، مقدار و توزيع بارش کشور در هر یک از فازهای MJO متفاوت است. بیشینه بی‌هنجاري منفی بارش زمستانه کشور، همزمان با فعالیت فازهای چهار و پنجم MJO، که هسته همرفت حاره‌ای در بخش شرقی اقیانوس هند قرار دارد، رخ می‌دهد که با بی‌هنجاري‌های مشیت ارتفاعی قوی بر روی بخش زیادی از اروپا و نواحی شرقی مدیترانه همراه می‌باشد. میزان کاهش بارش زمستانه همراه شده با این فازها در اکثر مناطق کشور، بین ۳۰ تا ۱۰۰ درصد است. در فازهای شش و هشت که هسته فعل همرفت در نواحی مرکزی آرام استوایی قرار می‌گیرد و پدیده همرفت در شرق اقیانوس هند سرکوب می‌شود، با بی‌هنجاري منفی قابل ملاحظه ارتفاع در بخش شرقی مدیترانه و اروپا و بی‌هنجاري مشیت بارش زمستانه بر روی ايران، بویژه در نیمه غربی کشور، همراه می‌باشد. در فاز شش بی‌هنجاري مشیت بارش (حدود ۳۰ تا ۱۵۰ درصد) در بخش عده نیمه غربی و دامنه‌های جنوبی البرز و در فاز هشت علاوه بر نیمه غربی در بخش‌های شرقی کشور رخ می‌دهد.

واژه‌های کلیدی: الگوهای جوي، بی‌هنجاري بارش، MJO، ايران

۱ مقدمه

نوسان مادن-جولين (MJO) از جمله پدیده‌های بزرگ-مقیاسی است که علاوه بر مناطق اطراف خود، به عنوان یک دورپیوند، مناطق بسیار دورتر را نیز تحت تأثیر قرار می‌دهد (بارلو و همکاران، ۲۰۰۵؛ ژائو و همکاران، ۲۰۱۲). ویژگی مهم این پدیده، یک سری تغییرات دوره‌ای بادهای مداری حاره‌ای با دوره تناوب متغیر ۳۰-۷۰ روزه است (مادن و جولین، ۱۹۷۱؛ ژنگ، ۲۰۰۵). در مناطق حاره‌ای پدیده MJO بر کمیت‌های مهم جوی و اقیانوسی نظیر سمت و سرعت باد در لایه‌های مختلف وردسپهر، ابرناکی، دمای سطح دریا و تبخیر از سطح اقیانوس تأثیر می‌گذارد (مادن و جولین، ۱۹۷۲ و ۱۹۹۴). آشتفتگی‌های میان‌فصلی مرتبط با این نوسان، از روی اقیانوس هند به سمت شرق حرکت می‌کند و روی خشکی‌ها و مجمع‌الجزایر اندونزی به بیشترین شدت می‌رسد و بتدریج در نواحی مرکزی آرام استوایی بشدت ضعیف می‌شود و به شکل امواج ایستا در می‌آید (ژانگ و دونگ، ۲۰۰۴؛ هندن و سالبی، ۱۹۹۴). تأثیر متقابل شارش جو در عرض‌های میانی و نواحی حاره‌ای مورد توجه پژوهشگران است و مطالعات زیادی بیان‌کننده اثر مستقیم و یا غیرمستقیم همرفت عمیق حاره‌ای بر دیگر دورپیوندها (لین و برانت، ۲۰۰۹)، شارش‌ها و ارتباط آن با الگوهای جوی (رایدل و همکاران، ۲۰۱۳؛ ژانگ، ۲۰۱۳؛ ژیانولانگ و همکاران، ۲۰۱۱؛ ماتیوس و همکاران، ۲۰۰۴) و مقدار بارش (مارتین و شوماخر، ۲۰۱۱؛ لین و همکاران، ۲۰۱۰؛ لاچو و ویو، ۲۰۱۰؛ جونز، ۲۰۰۴؛ جونز و کاروالو، ۲۰۱۰) و دما (جوهنسون و همکاران، ۲۰۱۴؛ ژائو و همکاران، ۲۰۱۲) در نقاط مختلف است. بارلو و همکاران (۲۰۰۲) با بررسی خشکسالی شدید سال‌های ۱۹۹۸-۲۰۰۱ در جنوب غرب آسیا، نشان دادند که بین بارش در این منطقه و همرفت ناشی از MJO در شرق اقیانوس هند، برای فصل سرد رابطه‌ای معکوس وجود

دارد. نصر اصفهانی و همکاران (۱۳۸۹ و ۱۳۹۰) نشان دادند که آثار MJO در جنوب غرب آسیا قابل اغماض نیست و فازهای مختلف آن آثار متفاوتی در منطقه دارند؛ به طوری که فاز سه MJO سبب سرکوب حرکات فراسو در جنوب غرب آسیا می‌شود و از شکل‌گیری و تقویت سامانه‌های چرخندی در این ناحیه جلوگیری می‌کند. بر عکس، فازهای هفت و هشت MJO شرایط مساعدی را برای چرخندزایی در جنوب غرب آسیا فراهم می‌کند. غضنفری و همکاران (۱۳۸۸) نشان دادند که در فازهای سوم و چهارم و تاحدی فاز پنجم از MJO، کاهش محسوس در شرایط مناسب برای بارندگی و در فازهای ششم و هفتم از MJO، افزایش محسوس در شرایط مناسب بر روی بارندگی بویژه در بخش‌های جنوب و جنوب شرق کشور رخ داده است.

هندرسون و همکاران (۲۰۱۶) با مطالعه ارتباط بین فازهای مختلف MJO با بسامد بندال‌های زمستانه نتیجه گرفتند که ارتباط معنی‌داری بین آنها وجود دارد و بیش از ۱۱ درصد از کل بندال‌های زمستانه اروپا، با تأخیر زمانی ۱۵ روزه بعد از فاز ششم MJO رخ می‌دهد. بوند و ویکی (۲۰۰۳) با مطالعه ارتباط بارندگی در شمال غرب آمریکا با MJO، نشان دادند که بین‌جواری ارتفاع ژئوپتانسیلی تراز ۵۰۰ هکتوپاسکال ناشی از MJO، تا عرض‌های بالای نیمکره شمالی گسترش یافته و فازهای دو و هفت (پنج) MJO، سبب گرمایش (سرماش) در نواحی مرکزی و شمالی آلاسکا می‌شود. جونز (۲۰۰۰) نشان داد که بسامد رخداد بارش‌های فرین در ناحیه کالیفرنیا، در زمان فعال بودن MJO بیشتر است. جونز و همکاران (۲۰۰۴) اثر تغییر فاز MJO، بر رخداد بارش‌های فرین را مطالعه کرده، نتیجه گرفتند زمانی که ناحیه همرفت در غرب اقیانوس آرام قرار گرفته و شرایط بر روی اقیانوس هند سبب سرکوب شدن همرفت می‌شود، احتمال رخداد بارش فرین از عربستان سعودی تا افغانستان،

بیشینه بسامد را دارد. مشاهده می‌شود که تعداد روزهای فاز یک کمترین بسامد و فاز پنج بیشترین بسامد را دارد.

جدول ۱. تعداد روزهای انتخاب شده، طی ماههای دسامبر، ژانویه و فوریه در دوره زمانی ۲۰۱۰–۲۰۰۰، با شرط اینکه شاخص MJO حداقل پنج روز متوالی در یک فاز ثابت و مقدار آن نیز مساوی و یا بزرگتر از یک باشد.

شماره فاز	۸	۷	۶	۵	۴	۳	۲	۱
تعداد روزها	۴۹	۸۸	۶۴	۹۰	۳۱	۷۸	۶۲	۲۲

- کمیت‌های هواشناختی شامل میدان‌های فشار سطح دریا، ارتفاع ژئوپتانسیلی و باد در سطوح استاندارد فشاری هریک از فازهای از داده‌های روزانه باز تحلیل جهانی مربوط به مراکز ملی پیش‌بینی محیطی-مرکز ملی پژوهش جوی NCEP/NCAR (کالنی و همکاران، ۱۹۹۶) طی دوره زمستانی یازده ساله (شامل ماههای دسامبر، ژانویه و فوریه مربوط به سال‌های ۲۰۱۰ تا ۲۰۰۰)، برای منطقه‌ای بین طول جغرافیایی ۴۰ درجه غربی تا ۱۳۰ درجه شرقی و عرض جغرافیایی ۲۰ درجه جنوبی تا ۷۰ درجه شمالی استخراج گردید.

- نقشه‌های بی‌هنگاری الگوهای جوی هر یک از فازهای هشتگانه (بر اساس جدول ۱) با کمیت‌های مورد نظر تهیه شد. داده‌های بارش روزانه ۴۷ ایستگاه همدیدی مربوط به سه ماه دسامبر، ژانویه و فوریه در طول دوره آماری یازده ساله (از ۲۰۰۰ تا ۲۰۱۰)، از سازمان هواشناسی کشور تهیه شد. پراکندگی این ایستگاه‌ها درسطح کشور در شکل ۱ نشان داده شده است.

در مرحله بعد داده‌های بارش مربوط به هر یک از فازهای MJO (بر اساس جدول ۱) استخراج گردید.

- بی‌هنگاری‌های بارش کشور و کمیت‌های فشار، ارتفاع ژئوپتانسیلی و باد برای هر یک از فازهای MJO نسبت به میانگین یازده سال محاسبه و نقشه‌های بی‌هنگاری مربوط به هر فاز تهیه و بررسی شد. منظور از بی‌هنگاری

۴۰ درصد بیشتر می‌شود و در زمانی که همرفت در شرق اقیانوس هند قرار دارد، احتمال رخداد بارش‌های فرین در جنوب غرب آسیا بسیار کم است. بارلو و همکاران (۲۰۰۵) با مطالعه ارتباط بین بارندگی در جنوب غرب آسیا و MJO نشان دادند که در زمان سرکوب همرفت در شرق اقیانوس هند، افزایش ۵۵ درصدی بارش در افغانستان رخ می‌دهد. با توجه اهمیت موضوع، در این تحقیق، بی- هنگاری الگوهای جوی همراه شده با هر یک از فازهای MJO و آثار آن بر بی‌هنگاری بارش کشور، طی دوره ۱۱ ساله (۲۰۱۰–۲۰۰۰) بررسی شده است.

۲ روش پژوهش

روش مطالعه در این پژوهش بر اساس مراحل زیر می‌باشد:

- برای مطالعه پدیده همرفت حاره‌ای (MJO) و بررسی آثار مستقیم و دورپیوندی آن، اغلب از شاخص MJO استفاده می‌شود که میان دو سنجه دامنه و شماره فاز MJO است. این شاخص بر مبنای توابع متعدد تجربی میدان‌های هواشناختی شامل میانگین باد ترازهای ۸۵۰ و ۲۰۰ هکتوپاسکال و تابش موج بلند خروجی (OLR) بین عرض‌های جغرافیایی ۱۵ درجه جنوبی و ۱۵ درجه شمالی می‌باشدند (ویلر و هندن، ۲۰۰۴). بر این اساس در این مطالعه برای تشخیص رخداد و تعیین فازهای مختلف MJO، از داده‌های روزانه ویگاه مرکز پژوهش هوا و اقلیم استرالیا (<http://cawcr.gov.au>) برای ماههای دسامبر، ژانویه و فوریه طی دوره آماری یازده سال (از ۲۰۰۰ تا ۲۰۱۰)، استفاده گردید.

- برای جداسازی فازها از یکدیگر، تنها دوره‌هایی در نظر گرفته شده که MJO، حداقل پنج روز متوالی در یک فاز و مقدار آن مساوی یا بزرگتر از یک باشد و از بقیه حالات‌ها صرف نظر شده است. با این شرط، تعداد روزهای مربوط به هر فاز در دوره مطالعه در جدول ۱ آورده شده است. در این جدول، فاز یک، کمینه بسامد و فاز پنج،

۱-۳ بی‌هنگاری‌های الگوهای جوی و بارش همراه شده با فازهای هشتگانه پدیده MJO

فاز اول:

نقشه‌های بی‌هنگاری میدان‌های فشار سطح دریا (حسب میلیمتر)، ارتفاع ژئوپتانسیلی (متر) و باد (متر بر ثانیه)، تراز ۵۰۰ هکتوپاسکال و بارش (میلیمتر) فاز اول در ستون سمت چپ شکل ۲ نشان داده شده است. در این فاز بی‌هنگاری مثبت فشار در نواحی شمال غرب اروپا و شمال شرق اطلس (بیشینه آن حدود $+8$ هکتوپاسکال) تا روی بخش وسیعی از اروپا، دریای سیاه، دریای خزر، نیمه شرقی مدیترانه، ترکیه و عراق و بی‌هنگاری منفی قابل ملاحظه فشار (بیشینه مقدار آن به حدود -8 هکتوپاسکال)، در نواحی شرقی اقیانوس اطلس بین عرض‌های جغرافیایی ۲۰ تا ۵۰ درجه شمالی مشاهده می‌شود (شکل ۵-ب). در تراز ۵۰۰ هکتوپاسکال، از شرق اطلس تا شرق آسیا قطاری از امواج راسی، اغلب با شیب مایلیم جنوب‌غربی-شمال‌شرقی وجود دارد (شکل ۲-د). یک الگوی دو قطبی در شرق اطلس شکل گرفته، به گونه‌ای که بی‌هنگاری‌های منفی ارتفاعی بین عرض‌های جغرافیایی ۲۵ تا ۴۵ درجه شمالی (حدود -60 تا -80 متر) و بی‌هنگاری‌های مثبت ارتفاعی در نواحی شمال غرب اروپا و شمال شرق اطلس (بیش از $+80$ متر) مشاهده می‌شود. بی‌هنگاری الگوهای فشار و ارتفاع در محدوده شرقی اطلس می‌تواند بیان‌کننده گرایش به تقویت الگوی منفی NAO (نوسان اطلس شمالی) باشد که با فاز اول MJO همراهی می‌شود. بی‌هنگاری‌های منفی ارتفاعی که می‌تواند میان مسیر چرخندگان غالب همراه شده با فاز اول MJO باشد، در نواحی مرکزی اروپا، روسیه، دریای خزر، دریای سیاه (با کاهش ارتفاعی حدود ۳۰ تا ۴۰ متر) مشاهده می‌شود (شکل ۲-د). بی‌هنگاری‌های مثبت ارتفاع در نواحی روی سیبری و آسیای میانه (حدود $+30$ تا $+70$ متر)، روی اقیانوس هند (حدود $+30$ تا $+40$ متر) مشاهده

هر کمیت در هر فاز (q_{an})، عبارت از اختلاف بین میانگین آن کمیت در فاز مورد نظر (q_{ph}) با میانگین یازده ساله (از ۲۰۱۰ تا ۲۰۰۰) سه ماهه دسامبر، ژانویه و فوریه (q_{3mon}) همان کمیت می‌باشد ($q_{an} = q_{ph} - q_{3mon}$). بر این اساس، اگر q_{an} بزرگتر از صفر باشد، بیان کننده بی‌هنگاری مثبت و اگر کوچکتر از صفر باشد، بیان کننده بی‌هنگاری منفی است.



شکل ۱. توزیع ۴۷ ایستگاه همدیدی در سطح کشور که در این مطالعه از داده‌های بارش روزانه آنها استفاده شده است.

۳ بحث و بررسی

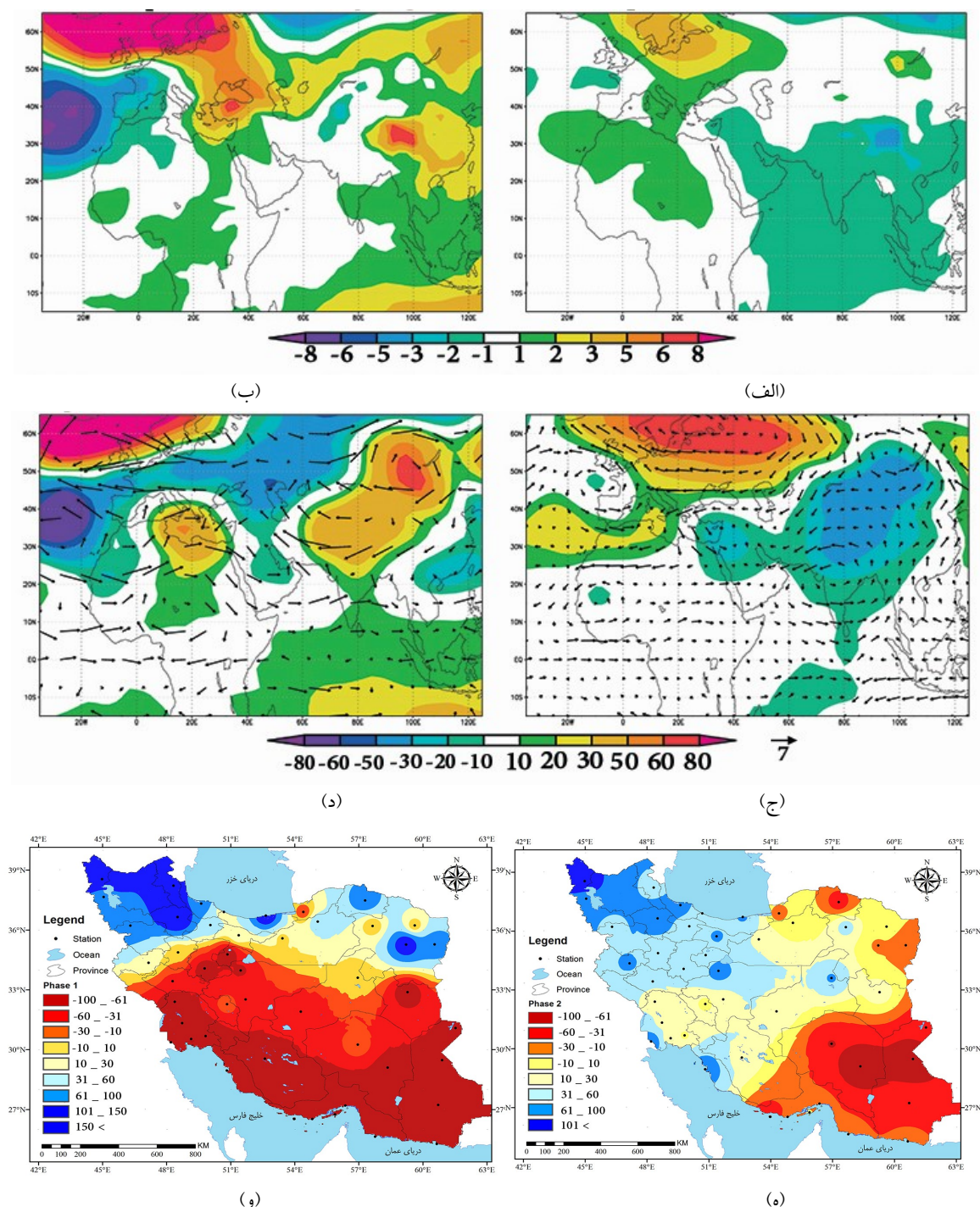
در این مطالعه بی‌هنگاری الگوهای همراه شده با هر فاز (بی‌هنگاری میدان‌های فشار سطح دریا، ارتفاع ژئوپتانسیلی و باد ترازهای ۸۵۰، ۷۰۰، ۵۰۰، ۳۰۰ و ۲۰۰ هکتوپاسکال و بی‌هنگاری بارش روی ایران) بررسی شده که در این بخش فقط برخی از این نقشه‌ها (نقشه‌های بی‌هنگاری میدان‌های فشار سطح دریا، ارتفاع ژئوپتانسیلی و باد ترازهای ۸۵۰ و ۵۰۰ هکتوپاسکال) ارائه شده است. همچنین بر اساس مطالعات انجام شده (عالیمزاده و همکاران، ۱۳۹۲؛ هندرسون و همکاران، ۲۰۱۶ و کاسیو، ۲۰۰۸) به آثار متقابل فازهای MJO با NAO و بندال‌های زمستانه همراه شده با هر یک از فازهای MJO در روی اروپا اشاره شده است.

همخوانی مناسبی با مطالعات آماری انجام شده در مناطق یاد شده داشته باشد.

فاز دوم:

در این فاز بی‌هنگاری مثبت فشار سطح دریا در روی نواحی شمالی اروپا (حدود $+3$ تا $+5$ هکتوپاسکال)، برخی از بخش‌های اروپای مرکزی تا شمال آفریقا (حدود $+1$ تا $+2$ هکتوپاسکال) و بی‌هنگاری منفی در روی چین (حدود -3 تا -5 هکتوپاسکال) مشاهده می‌شود (شکل ۲-الف). در تراز 500 هکتوپاسکال، بی‌هنگاری‌های مثبت ارتفاعی، در روی اروپا (حدود $+60$ تا $+80$ متر) و شرق اطلس (حدود $+20$ تا $+30$ متر) و بی‌هنگاری منفی در بخش شرقی مدیترانه (حدود -20 تا -30 متر)، سوریه، عراق، بخش‌هایی از چین و سیبری (حدود -20 تا -50 متر) است (شکل ۲-ج). به نظر می‌رسد الگوهای جوی همراه فاز دو MJO، گرایش به تقویت سامانه واچرخند (چرخدنده) بر روی اسکاندیناوی (شرق آسیا) دارد و با فاز خنثای NAO همراهی می‌شوند. بسامد بندال‌های زمستانه اروپا در شرایط همزمان با فاز ۲ MJO، در بخش غربی اروپا کمتر و در بخش شرقی اندکی بیشتر از بسامد میانگین است؛ اما پس از 10 تا 15 روز پس از فاز ۲ MJO، بسامد بندال‌ها بیش از بسامد میانگین است (هندرسون و همکاران، ۲۰۱۶). الگوی بی‌هنگاری باد میان تقویت گردش‌های واچرخندی حول مرکز ارتفاع زیاد در روی اروپای شمالی و گردش‌های شمال‌غربی در بخش شرقی مدیترانه و بخش وسیعی از دریای عمان است (شکل ۲-ج). بی‌هنگاری بارش همراه شده با این فاز در بخش‌های عمده‌ای از نیمه غربی، بویژه مناطق شمال غرب کشور، مثبت و برای بخش‌هایی از نیمه شرقی بویژه جنوب شرق منفی است (شکل ۲-ه).

می‌شود. بی‌هنگاری میدان باد (شکل ۲-د) بیان کننده بی‌هنگاری با جهت‌های جنوب شرقی بر روی کشور و غربی بر روی عربستان و دریای عمان است. در این فاز، بی‌هنگاری مثبت بارش در نوار شمالی کشور شامل مناطق شمال غرب و بخش‌هایی از شمال و شمال شرق کشور و بی‌هنگاری منفی بارش در سایر مناطق مشاهده می‌شود (شکل ۲-و). با توجه به بی‌هنگاری‌های فشار و ارتفاع الگوهای جوی فاز اول، در محدوده شرقی مدیترانه به نظر می‌رسد که ناوه مدیترانه در این فاز نسبت به شرایط میانگین ضعیف‌تر باشد که یکی از عوامل اصلی بی‌هنگاری منفی بارش در اکثر نقاط کشور است. هندرسون و همکاران (۲۰۱۶) با مطالعه ارتباط بین فازهای مختلف MJO با بسامد بندال‌های زمستانه (دسامبر، ژانویه و فوریه) در اقیانوس آرام (بخش‌های غربی و شرقی آن)، اقیانوس اطلس و اروپا نتیجه گرفتند که بسامد بندال‌ها، به طور معنی‌داری با تأخیر زمانی صفر، 5 ، 10 و 15 روزه فازهای MJO نسبت به میانگین اقلیمی تغییر می‌کند. بندال‌های روی اروپا و اطلس شمالی در فاز یک، در همه بندال‌های در نظر گرفته شده تأخیر زمانی، اندکی کمتر از بسامد میانگین است. استقرار سامانه‌های بندالی در بخش غربی اروپا می‌تواند فعالیت ناوه در بخش شرقی این سامانه، از جمله در نواحی شرقی مدیترانه را در پی داشته باشد که نقش مهمی در بارش‌های غرب آسیا را دارد. نظام السادات و همکاران (۱۳۹۵) با مطالعه آماری روزهای بارشی جنوب باختری ایران که با فاز یک MJO همراهی می‌شود نتیجه گرفتند که فقط بین 8 تا 14 درصد روزهای همراه با چیرگی فاز یک، بارش سراسری در این مناطق رخ می‌دهد. به عبارت دیگر، بین 86 تا 92 درصد روزهای همراه شده با فاز یک، در جنوب باختری بارش سراسری رخ نداده است. بر این اساس، نتایج به دست آمده می‌توانند



شکل ۲. نقشه‌های هنگاری میدان‌های فشار سطح دریا (حسب میلیمتر)، ارتفاع زئوپتانسیلی (متر) و باد (متر بر ثانیه) تراز ۵۰۰ هکتوپاسکال و بارش، نقشه‌های ستون سمت چپ برای فاز یک و ستون سمت راست برای فاز دو.

هکتوپاسکال) و دیگری در شرق اطلس و غرب اروپا (حدود -۳ تا -۶ هکتوپاسکال) و بی‌هنگاری‌های مثبت فشار در منطقه شمال بریتانیا و شمال غرب اروپا (حدود +۳

فاز سوم:

در فاز سه MJO (شکل ۳)، بی‌هنگاری‌های منفی فشار در دو منطقه (یکی در روی روسیه و سیبری (حدود -۳ تا -۸

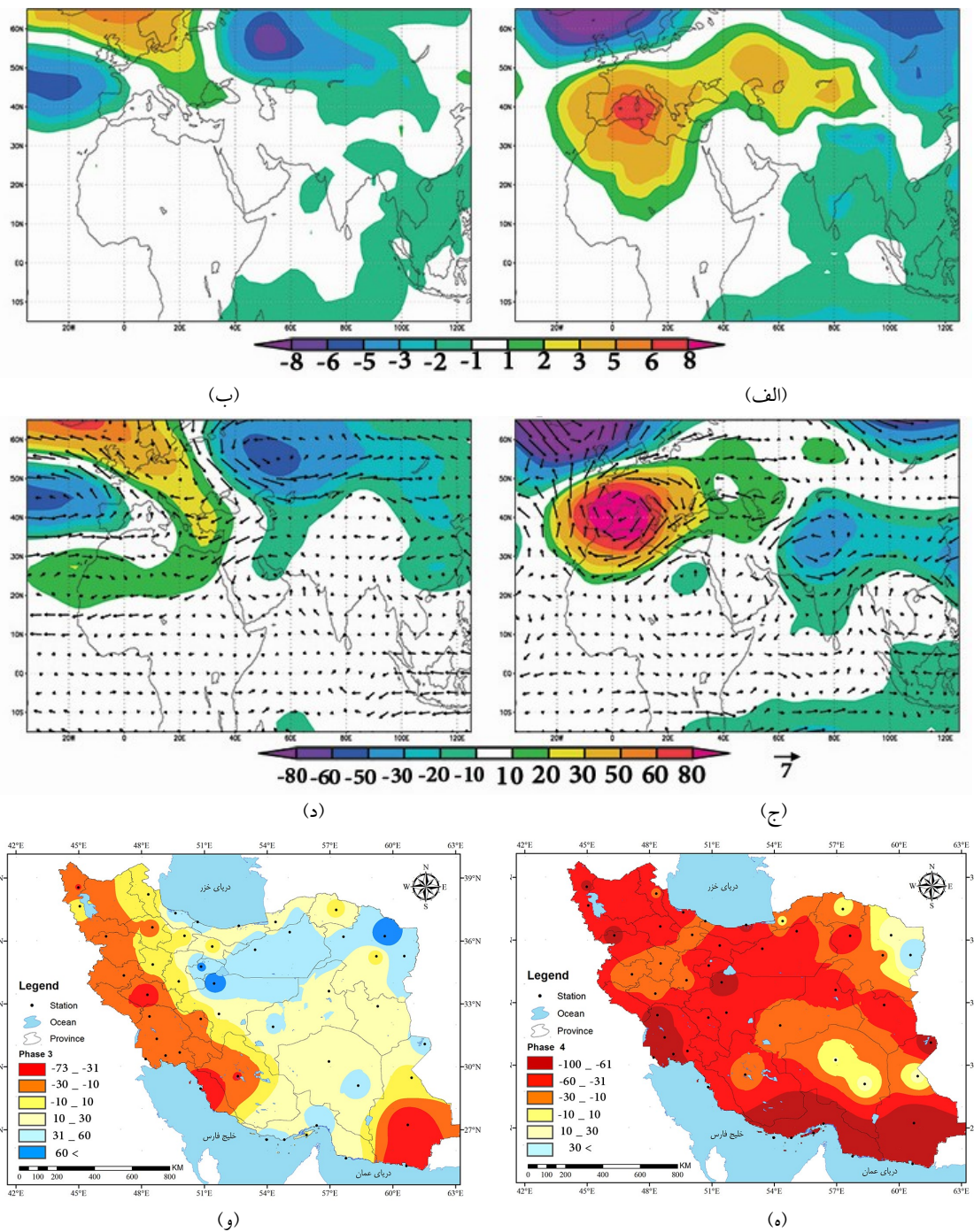
فاز چهارم:

در فاز چهار MJO، بی‌هنگاری منفی فشار در نواحی شمال بریتانیا بیش از -8° هکتوپاسکال، منطقه سیبری با بی‌هنگاری حدود -5° تا -6° هکتوپاسکال و نواحی گسترده‌ای در شرق آسیا و بخش‌هایی از آقیانوس هند، حدود -1° تا -3° هکتوپاسکال است (شکل ۳-الف). گستردگی بی‌هنگاری مثبت فشار نواحی شمال آفریقا، اروپای مرکزی، دریای سیاه، شمال دریای خزر و قراستان را در بر می‌گیرد که با دو منطقه بیشینه بی‌هنگاری، یکی در نیمه غربی مدیترانه (حدود $+6^{\circ}$ تا $+8^{\circ}$ هکتوپاسکال) و دیگری در شمال غرب دریای خزر (حدود $+3^{\circ}$ تا $+5^{\circ}$ هکتوپاسکال) مشاهده می‌شود (شکل ۳-الف). در تراز 500° هکتوپاسکال فاز چهارم، بی‌هنگاری‌های ارتفاعی، هماهنگی خوبی با بی‌هنگاری فشار دارد؛ به طوری که نواحی بی‌هنگاری مثبت ارتفاعی شدید در نیمه غربی مدیترانه و جنوب غرب اروپا (با بیش از $+80^{\circ}$ متر) قرار گرفته، در شمال غرب بریتانیا منطقه بی‌هنگاری منفی ارتفاعی (حدود -50° تا -80° متر) و در روی نواحی شمالی سیبری و نواحی شرقی ایران تا آسیای شرقی (حدود -10° تا -50° متر) مشاهده می‌شود (شکل ۳-ج). بی‌هنگاری میدان باد مبین تقویت گردش ارتفاع ژئوپتانسیلی تراز 500° هکتوپاسکال شرق اطلس بیان کننده آن است که الگوی جوی همراه شده با فاز سوم، گرایش به NAO منفی ضعیف دارد. کاسویو (۲۰۰۸)، لین و همکاران (۲۰۰۹) و هندرسون و همکاران (۲۰۱۶) و هندرسون و همکاران (۱۳۹۲) نیز این نتیجه گرفتند که ۱۰ تا ۱۵ روز پس از فاز سوم MJO، یک الگوی NAO مثبت بر روی اطلس توسعه می‌یابد که می‌تواند اثر آن در فاز ۴ MJO نمایان شود. نقشه بی‌هنگاری بارش فاز سوم، بی‌هنگاری منفی بارش در نیمه غربی و نواحی جنوب شرقی کشور و بی‌هنگاری مثبت بارش در نواحی شمال شرقی و مرکز نشان می‌دهد (شکل ۳-و). با توجه به بی‌هنگاری مثبت ارتفاع در بخش شرقی مدیترانه و بی‌هنگاری منفی فشار و ارتفاع قابل ملاحظه در روی روسیه و بی‌هنگاری بارش رخ داده در این فاز، به نظر می‌رسد فعالیت ناوه مدیترانه در این فاز بسیار ضعیف است و ناوه‌های عبوری از عرض‌های شمالی‌تر، عامل اصلی رخداد بارش‌های نواحی شرقی و بخش جنوبی البرز باشد.

تا $+6^{\circ}$ هکتوپاسکال) مشاهده می‌شود (شکل ۳-ب). در تراز 500° هکتوپاسکال فاز سوم، بی‌هنگاری‌های ارتفاعی، تقریباً هماهنگ با بی‌هنگاری‌های فشار است؛ به طوری که بیشینه بی‌هنگاری‌های مثبت ارتفاعی در منطقه شمال بریتانیا و شمال غرب اروپا (حدود $+5^{\circ}$ تا $+80^{\circ}$ متر) و نواحی مرکزی اروپا و شرق مدیترانه (حدود $+20^{\circ}$ تا $+30^{\circ}$ متر) مشاهده می‌شود (شکل ۳-د). بی‌هنگاری منفی ارتفاع در دو منطقه (یکی در روی روسیه، سیبری و چین با بیشینه بی‌هنگاری روی روسیه (حدود -30° تا -60° متر) و دیگری در عرض‌های جغرافیایی 35° تا 55° درجه شمالی روی مناطق شرقی اطلس (حدود -30° تا -50° متر) مشاهده می‌شود. بی‌هنگاری میدان باد مبین تقویت گردش واچرخندی (چرخندی) حول مراکز بی‌هنگاری مثبت (منفی) ارتفاع می‌باشد (شکل ۳-د). الگوی بی‌هنگاری ارتفاع ژئوپتانسیلی تراز 500° هکتوپاسکال شرق اطلس بیان کننده آن است که الگوی جوی همراه شده با فاز سوم، گرایش به NAO منفی ضعیف دارد. کاسویو (۲۰۰۸)، لین و همکاران (۲۰۰۹) و هندرسون و همکاران (۲۰۱۶) نتیجه گرفتند که ۱۰ تا ۱۵ روز پس از فاز سوم MJO، یک الگوی NAO مثبت بر روی اطلس توسعه می‌یابد که می‌تواند اثر آن در فاز ۴ MJO نمایان شود. نقشه بی‌هنگاری بارش فاز سوم، بی‌هنگاری منفی بارش در نیمه غربی و نواحی جنوب شرقی کشور و بی‌هنگاری مثبت بارش در نواحی شمال شرقی و مرکز نشان می‌دهد (شکل ۳-و). با توجه به بی‌هنگاری مثبت ارتفاع در بخش شرقی مدیترانه و بی‌هنگاری منفی فشار و ارتفاع قابل ملاحظه در روی روسیه و بی‌هنگاری بارش رخ داده در این فاز، به نظر می‌رسد فعالیت ناوه مدیترانه در این فاز بسیار ضعیف است و ناوه‌های عبوری از عرض‌های شمالی‌تر، عامل اصلی رخداد بارش‌های نواحی شرقی و بخش جنوبی البرز باشد.

مدیترانه رخ می‌دهد این شرایط می‌تواند نقش مهمی در کاهش فعالیت چرخندگی در روی مدیترانه داشته باشد که پیامد آن، بی‌هنگاری قابل ملاحظه منفی بارش در بسیاری از مناطق کشور است.

رخ می‌دهد (هندرسون و همکاران، ۲۰۱۶)؛ بنابراین در فاز چهار MJO که با فاز مثبت NAO و رخداد کمترین بسامد بندال زمستانه همراهی می‌شود، بی‌هنگاری‌های مثبت قابل ملاحظه فشار و ارتفاع ژئوپتانسیلی بر روی اروپا و دریای



شکل ۳. مانند شکل ۲، اما سوتون سمت چپ برای فاز سه و سوتون سمت راست برای فاز چهار.

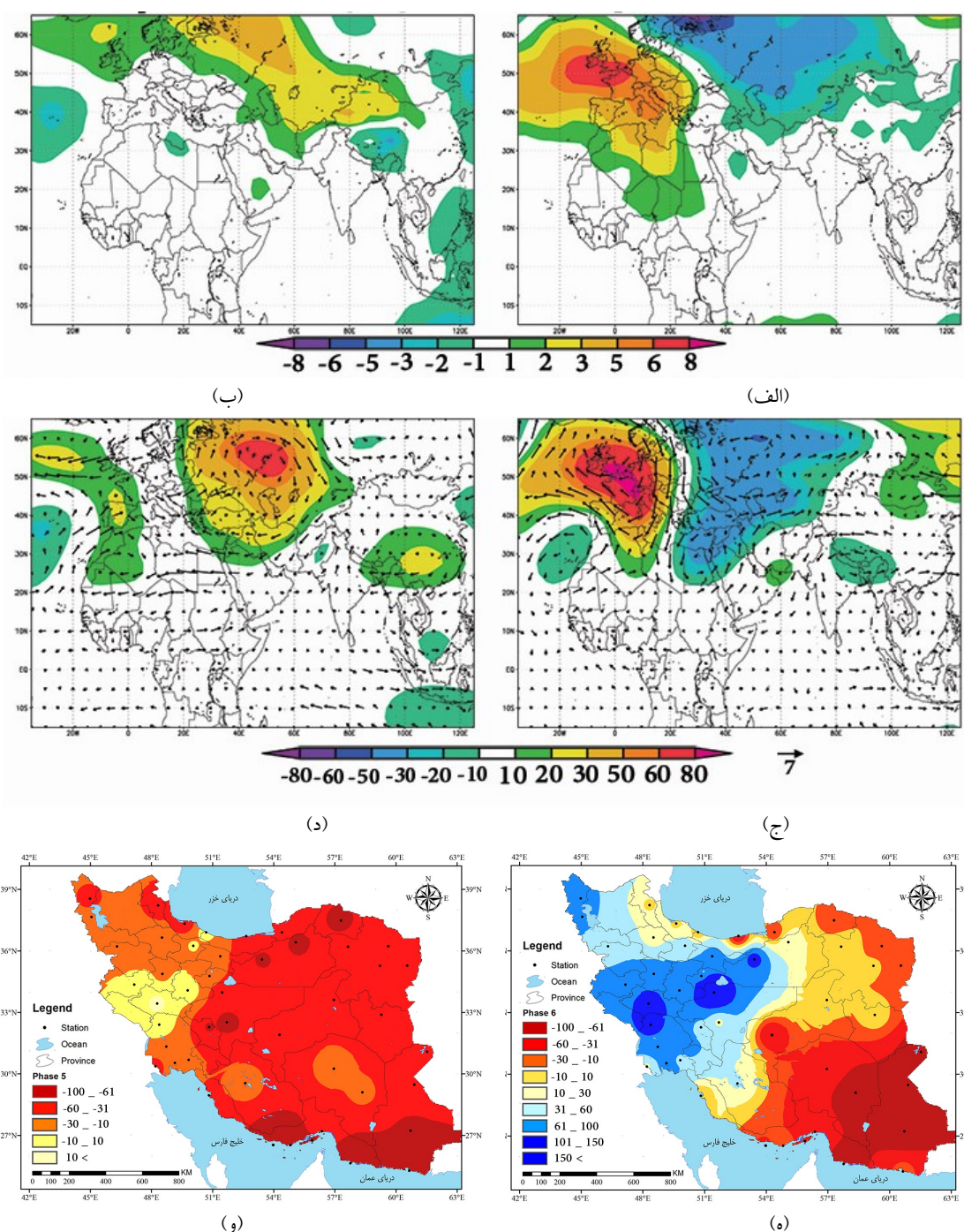
محدوده خیلی کوچکی از غرب کشور، در سایر نقاط منفی است (شکل ۴-و).

فاز ششم:

بی‌هنگاری‌های فشار سطح دریا در فاز ششم MJO، شامل دو منطقه بسیار گسترده (یکی با بی‌هنگاری مثبت، در روی و نواحی شرق اطلس و نیمه غربی اروپا تا مناطقی از آفریقا شمالی، با بیشینه‌ای حدود $+8$ هکتوپاسکال و دیگری با بی‌هنگاری منفی در نواحی شمال شرقی اروپا، روی روسیه تا نوار شمالی کشور، با بیشینه‌ای حدود -5 تا -8 هکتوپاسکال) است (شکل ۴-الف). در تراز 500 هکتوپاسکال فاز ششم، بی‌هنگاری مثبت شدید ارتفاع (حدود $+80$ متر) در نیمه غربی اروپا و بی‌هنگاری منفی (حدود -80 متر) در نیمه شرقی اروپا، غرب آسیا تا بخش گسترده ارتفاع در نیمه غربی اروپا، غرب آسیا تا بخش شمالی دریای سرخ، با بیشینه‌ای حدود -30 تا -50 متر رخ داده است (شکل ۴-ج). بی‌هنگاری میدان باد میان تقویت گردش واچرخندی (چرخندی) حول مراکز بی‌هنگاری مثبت (منفی) ارتفاع است (شکل ۴-ج). بی‌هنگاری بارش فاز ششم، نشان دهنده کاهش بارش در نیمه شرقی و نواحی شمالی و افزایش بارش در نواحی غربی، شمال غرب، مرکز و جنوب غرب است (شکل ۴-ه). در زمان رخداد فاز شش MJO، بسامد بندال‌های زمستانه روی اسکاندیناوی بیش از 30 درصد نسبت به شرایط اقلیمی آن افزایش می‌یابد (کاسویو، ۲۰۰۸). افزایش تعداد بندال‌های زمستانه روی اسکاندیناوی با بی‌هنگاری‌های مثبت (منفی) قابل ملاحظه بر روی اروپا (روسیه تا نیمه شرقی مدیترانه) همراه شده است (شکل ۴-ج) که این شرایط تقویت ناوه شرق مدیترانه را در پی دارد و سبب بی‌هنگاری‌های مثبت بارش در نیمه غربی ایران می‌شود.

فاز پنجم:

در شکل ۴ بی‌هنگاری‌های الگوهای جوی و بارش همراه شده با فازهای پنج و شش نشان داده شده است. بی‌هنگاری منفی فشار در فاز پنجم MJO، نسبت به فازهای قبلی ضعیفتر است و بی‌هنگاری منفی حدود -1 تا -3 هکتوپاسکال در شرق اطلس (در عرض‌های جغرافیایی حدود 30 تا 45 درجه شمالی) رخ داده است (شکل ۴-ب). بی‌هنگاری مثبت فشار در محدوده وسیعی (از شمال غرب بریتانیا تا روی روسیه، دریای خزر و شرق قزاقستان و بخش‌هایی از نواحی شرقی و شمال شرقی کشور)، با بیشینه بی‌هنگاری (حدود $+3$ تا $+5$ هکتوپاسکال) در روی روسیه مشاهده می‌شود (شکل ۴-ب). در تراز 500 هکتوپاسکال فاز پنجم، بی‌هنگاری‌های مثبت ارتفاعی در سه منطقه (نیمه شرقی اروپا تا غرب آسیا، شمال شرق اطلس، ایسلند و نواحی غربی اروپا تا شمال غرب آفریقا و چین) مشاهده می‌شود (شکل ۴-د). بیشینه بی‌هنگاری مثبت ارتفاعی در روی روسیه (حدود $+50$ تا $+80$ متر) رخ داده است. بی‌هنگاری منفی ارتفاعی در این فاز در محدوده مورد مطالعه ضعیف بوده و فقط در محدوده کوچکی واقع در شرق اطلس مشاهده می‌شود؛ در حالی که بر روی اروپا بی‌هنگاری منفی ارتفاعی مشاهده نمی‌شود (شکل ۴-د). بر این اساس، امواج راسی در منطقه اروپا در این فاز کمترین فعالیت را دارد و بسامد بندال‌های زمستانه همزمان با این فاز، در بخش غربی اروپا کمینه مقدار، اما در بخش شرقی اروپا اندکی بیش از مقدار میانگین است (هندرسون و همکاران، ۲۰۱۶). بی‌هنگاری میدان باد در محدوده بی‌هنگاری‌های مثبت ارتفاع، بویژه در روی نیمه شرقی اروپا و غرب آسیا، دارای چرخش ساعتگرد است (شکل ۴-د) که می‌تواند میان گرایش به تقویت واچرخند در این مناطق باشد. بی‌هنگاری بارش فاز پنجم، بجز در



شکل ۴. مانند شکل ۲، اما ستون سمت چپ برای فاز پنج و ستون سمت راست برای فاز شش.

بی‌هنگاری فشار فاز هفتم MJO، منطقه وسیعی با
بی‌هنگاری مثبت فشار از روی روسیه و سیبری تا شرق
آسیا با بیشینه بی‌هنگاری حدود $+3^{\circ}$ تا $+5^{\circ}$ هکتوپاسکال در

فاز هفتم:
در شکل ۵ بی‌هنگاری‌های الگوهای جوی و بارش همراه
شده با فازهای هفت و هشت نشان داده شده است.

فاز هشتم:

بی‌هنگاری‌های میدان فشار سطح دریا در فاز هشتم MJO مبنی‌بین بی‌هنگاری منفی فشار (حدود ۱-۵-هکتوپاسکال) در محدوده گستره‌های از اروپا، مدیترانه، شمال آفریقا و غرب آسیاست (شکل ۵-الف). در بخشی از عرض‌های جغرافیایی بالا (نواحی شمالی اروپا) تا روی بخش‌هایی از سیری و شرق آسیا بی‌هنگاری مثبت فشار مشاهده می‌شود (شکل ۵-الف). در تراز ۵۰۰ هکتوپاسکال فاز هشتم، بی‌هنگاری‌های ارتفاعی، هماهنگ با بی‌هنگاری‌های فشار در روی اروپا و نواحی غربی آن بی‌هنگاری منفی شدید (حدود ۵۰-۸۰-مترا) مشاهده می‌شود. در روی آسیای میانه (حدود +۳۰ تا +۵۰ متر)، بخش شرقی اقیانوس هند و شرق آسیا بی‌هنگاری مثبت ارتفاع رخ داده است (شکل ۵-ج). نقشه بی‌هنگاری میدان باد، مانند فازهای قبل، تقویت گردش چرخدنی (واچرخدنی) حول مناطق بی‌هنگاری منفی (مثبت) ارتفاع را نشان می‌دهد (شکل ۵-ج). بی‌هنگاری بارش فاز هشتم، افزایش بارش در نیمه غربی و مناطق شرقی کشور و کاهش بارش در جنوب، شمال و مرکز کشور را نشان می‌دهد (شکل ۵-ه).

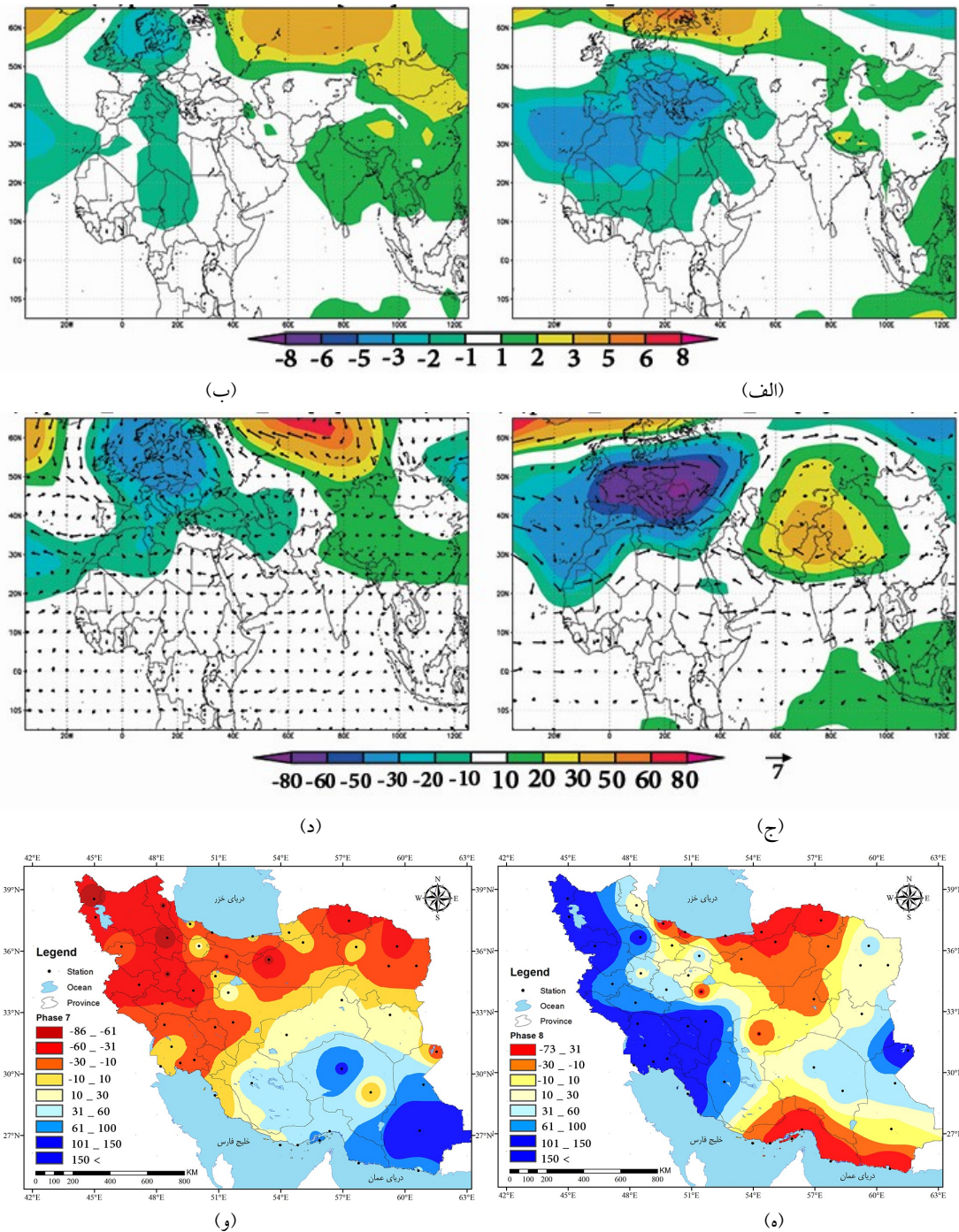
۲-۳ بحث

بررسی بی‌هنگاری‌های همراه شده با فازهای هفت و هشت نشان داد که در این فازها بی‌هنگاری‌های منفی فشار و ارتفاع بر روی اروپا مشاهده می‌شود؛ اما بی‌هنگاری‌های همراه شده با فاز هشت ضمن اینکه بسیار شدیدتر هستند، عرض‌های جغرافیایی جنوبی‌تر و نواحی شرقی مدیترانه را هم شامل می‌شود. از طرف دیگر، وجود بی‌هنگاری‌های مثبت قویتر فشار و ارتفاع در شمال اروپا و همچنین بر روی افغانستان و پاکستان همراه با فاز هشت MJO می‌تواند مانع حرکت سریع چرخدندهای بر روی اروپا- مدیترانه شود که پیامد آن، بی‌هنگاری مثبت بارش در

روی روسیه را نشان می‌دهد (شکل ۵-ب). بی‌هنگاری منفی فشار در نواحی شرق اطلس، شمال غرب اروپا و بی‌هنگاری ضعیفی در نواحی مرکزی مدیترانه و آفریقای شمالی مشاهده می‌شود (شکل ۵-ب). در تراز ۵۰۰ هکتوپاسکال فاز هفتم، بی‌هنگاری‌های ارتفاعی، دو منطقه با بی‌هنگاری مثبت (یکی در روی شمال شرق اطلس و دیگری در روی نواحی شمال و شمال شرق روسیه (حدود ۳۰+ تا +۸۰ متر) تا روی بخش‌هایی از سیری و چین (حدود +۱۰ تا +۲۰ متر)) قرار گرفته است (شکل ۵-د). در منطقه اروپا تا روی نیمه شرقی مدیترانه، شمال غرب آفریقا و مناطق شرقی اطلس، بین عرض‌های ۲۰ تا ۳۵ درجه شمالی، بی‌هنگاری منفی رخ داده است که بیشینه مقدار بی‌هنگاری در بخش‌های مرکزی و شمالی اروپا، حدود +۲۰ تا +۵۰ متر است (شکل ۵-د). بر این اساس، فازهفت MJO با فاز ضعیف منفی NAO همراه است. بی‌هنگاری میدان باد مانند فازهای قبل در محدوده بی‌هنگاری ارتفاعی قابل ملاحظه و از نظر گردشی مانند فازهای قبلی است (شکل ۵-د). نقشه بی‌هنگاری بارش فاز هفتم، افزایش بارش در نواحی جنوب-جنوب شرق کشور و بخش‌هایی از مرکز و کاهش بارش در سایر مناطق را نشان می‌دهد (شکل ۵-و). در بخش شرقی مدیترانه بی‌هنگاری‌های منفی ارتفاعی مشاهده نمی‌شود و بی‌هنگاری‌های منفی ارتفاعی در بخش‌هایی از ایران به-گونه‌ای است که در بخش شرقی نواهی از حدود منطقه تهران تا بوشهر می‌تواند فال باشد، افزایش نسبی بارش مشاهده می‌شود. همچنین در فاز هفت بسامد بندال‌های بر روی اطلس شمالی و اروپای شرقی بیش از بسامد میانگین است. در این فاز، پهن شدگی بسامدهای زیاد از طول جغرافیایی ۲۰ درجه غربی شروع و تا ۴۰ درجه شرقی ادامه می‌یابد که بسامد در این محدوده بیش از بسامد میانگین است (هندرسون و همکاران ۲۰۱۶).

بی‌هنگاری‌های مثبت قوی ارتفاع در روی اروپا و یا شرق ایران (روی افغانستان و پاکستان) قرار می‌گیرد. بی‌هنگاری مثبت بارش در بخش‌های وسیعی از ایران، بویژه نیمه غربی رخ می‌دهد.

بخش‌های وسیعی از کشور از جمله نیمه غربی می‌شود. در فازهای شش و هشت MJO، بی‌هنگاری‌های قوی ارتفاعی به صورت دوقطبی در آمده، به گونه‌ای که بی‌هنگاری منفی قوی ارتفاع در روی نواحی شرقی مدیترانه و



شکل ۵. مانند شکل ۲، اما ستون سمت چپ برای فاز هفت و ستون سمت راست برای فاز هشتم.

همخوانی ندارد؛ اما برای بقیه فازها همخوانی مناسبی دارد که یکی از دلایل آن می‌تواند طول دوره آماری و فصل مورد مطالعه باشد.

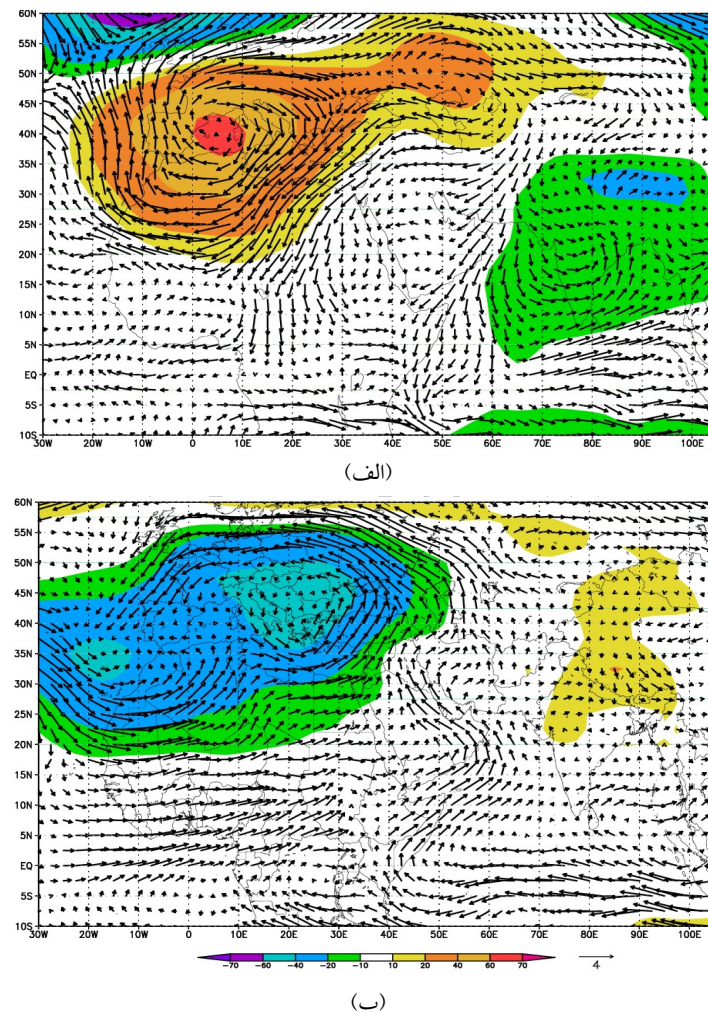
بررسی بی‌هنگاری‌های فشار و ارتفاع ژئوپتانسیلی تراز ۵۰۰ هکتوپاسکال هریک از فازهای MJO با بارش ایران نشان داد که تغییرات بارش همراه شده با هر یک از این فازها زیاد است و به طور معنی‌داری الگوهای جوی همراه شده با فازهای مختلف MJO تغییر می‌کند. نمونه‌ای از بی‌هنگاری میدان‌های ارتفاع ژئوپتانسیلی (متر) و باد (متر بر ثانیه) در تراز ۸۵۰ هکتوپاسکال نسبت به میانگین یازده ساله (از ۲۰۰۰ تا ۲۰۱۰) برای فازهای چهار و هشت در شکل ۶ نشان داده شده است. در فاز چهار، بی‌هنگاری مثبت قابل ملاحظه ارتفاع (حدود ۲۰ تا ۷۰ متر) همراه با بی‌هنگاری باد به صورت ساعتگرد بر روی اروپا و دریای مدیترانه بسیار زیاد است که ادامه این بی‌هنگاری‌ها تا روی دریای خزر و شرق روسیه گسترشده شده است (شکل ۶-الف). در فاز هشت، بی‌هنگاری منفی ارتفاع (حدود ۱۰ تا ۶۰ متر) همراه با بی‌هنگاری باد به صورت پاد ساعتگرد در محدوده بسیار وسیعی از اروپا، دریای مدیترانه، بخش‌های شرقی اطلس را در بر گرفته است؛ در حالی که بی‌هنگاری مثبت ارتفاعی کمتر از ۲۰ متر، در محدوده کوچکی از چین و آسیای شرقی مشاهده می‌شود (شکل ۶-ب). اگر بی‌هنگاری‌های منفی (مثبت) ارتفاع همراه با بی‌هنگاری‌های چرخندی (واچرخندی) باشد، به عنوان گرایش تقویت کم ارتفاع (پارارتفاع) فرض شود، بی‌هنگاری میدان‌های ارتفاع و باد این فازها نشان می‌دهد که در فاز چهار MJO (فاز هشت MJO) تقویت سامانه پارارتفاع (کم ارتفاع) بر روی اروپا و مدیترانه رخ می‌دهد (شکل ۶). همچنین بی‌هنگاری منفی ارتفاع و بی‌هنگاری باد بر روی شبه قاره هند و پاکستان در فاز چهار قابل ملاحظه و مبین تقویت کم ارتفاع بر روی این مناطق است. بی‌هنگاری‌های میدان باد همراه شده با

بر اساس نتایج هندرسون و همکاران (۲۰۱۶)، بیشترین بسامد بندال روی اروپا، همزمان با چیرگی فازهای مختلف MJO، با فاز هشت MJO رخ می‌دهد و در فاز هفت MJO بیشینه بسامد در روی اطلس شمالی مشاهده می‌شود. بر این اساس، بیشینه بسامد بندال روی اروپا و اطلس شمالی همزمان با فاز هشت MJO است و رتبه بعدی مربوط به فاز هفت MJO می‌باشد. با این تفاوت که در فاز هشت MJO، قله بسامد بندال‌ها در محدوده غرب اروپا (۵۰ تا ۱۰ درجه طول جغرافیایی) متتمرکز است؛ اما در فاز هشت MJO، پهن شدگی قله بسامد بندال‌ها در بخش مرکزی و شرقی اروپا (از طول جغرافیایی ۲۰ درجه غربی شروع و تا ۴۰ درجه شرقی) ادامه می‌یابد که بسامد در این محدوده بیش از بسامد میانگین می‌باشد. بر این اساس، به نظر می‌رسد افزایش بسامد بندال در غرب اروپا می‌تواند به بی‌هنگاری‌های منفی قابل ملاحظه در نیمه شرقی مدیترانه منجر شود که پیامد آن، می‌تواند بی‌هنگاری‌های قابل ملاحظه مثبت بارش در بخش وسیعی از ایران باشد (مانند شرایط همراه با چیرگی فاز ۸ MJO)؛ اما پهن شدگی قله بسامد بندال‌ها در بخش شرقی اروپا، نمی‌تواند شرایط لازم برای ایجاد بی‌هنگاری‌های ارتفاعی (عمیق شدن ناوه) در بخش شرقی مدیترانه را فراهم آورد. در نتیجه، بی‌هنگاری مثبت بارش در نیمه غربی کشور مشاهده نمی‌شود (مانند شرایط همراه با چیرگی فاز هفت MJO).

قائد امینی و ناظم السادات (۱۳۹۱) رابطه بین مقدار بارش و بسامد دوره‌های خشک و تر در استان‌های فارس و سیستان و بلوچستان را به صورت آماری بررسی کردند و دریافتند که مقدار بارش همراه شده با فازهای یک، دو، هفت و هشت به طور معنی‌داری از بارش همراه شده با فازهای سه، چهار، پنج و شش بیشتر است. نتایج به دست آمده در این مطالعه، که فقط بارش زمستانه را مورد بررسی قرار داده، برای فاز یک برای دو استان نامبرده و برای فاز ۲ برای استان سیستان و بلوچستان با نتایج آنها

با فاز هشت، در اکثر مناطق، بویژه در روی مدیترانه، نواحی غربی اقیانوس هند و دریای عمان نشان دهنده بی‌هنگاری‌هایی با جهت عکس است. با توجه به نتایج حاصل از مطالعه شار نم ویژه توسط رنجبر سعادت‌آبادی و ایزدی (۱۳۹۲)، که نشان دادند استقرار جریانات شرقی در روی دریای عمان همراه با فعالیت ناوه در بخش شرقی مدیترانه، نقش مهمی در هدایت رطوبت از روی دریای عمان به جنوب و جنوب غرب کشور دارد و همچنین بررسی‌های نظام السادات و همکاران (۱۳۹۵) مبنی بر اینکه بادهای سرچشمه گرفته از بخش باختری اقیانوس

فازهای چهار و هشت MJO در اکثر مناطق، بویژه در بخش شمالی اقیانوس هند، دریای عمان و ایران عکس یکدیگر است. بی‌هنگاری میدان باد در فاز هشت MJO نشان دهنده بی‌هنگاری مثبت بادهای غربی روی مدیترانه، بادهای شرقی روی اقیانوس هند، بادهای جنوب غربی در جنوب غرب دریای عمان و سپس بادهای جنوب شرقی در بخش غربی دریای عمان نسبت به میانگین یازده ساله آن است که سرانجام به صورت کمالی از بی‌هنگاری‌هایی با جهت‌های جنوب غربی به سمت ایران را نشان می‌دهد (شکل ۶-ب). مقایسه بی‌هنگاری‌های میدان باد فاز چهار



شکل ۶. نقشه بی‌هنگاری میدان‌های ارتفاع ژئوتانسیلی (متر) و باد (متر بر ثانیه) تراز ۸۵۰ هکتوپاسکال برای فازهای چهار و هشت.

بی‌هنجری بارش‌های زمستانه کشور در زمان چیرگی هر یک از فازهای MJO به طور قابل ملاحظه‌ای تغییر می‌کند که حاکی از ارتباط معنی‌دار فازهای مختلف MJO با الگوهای جوی و بارش زمستانه ایران می‌باشد. در زمان چیرگی فازهای چهار و پنج MJO که بی‌هنجری‌های منفی فشار و ارتفاع بر روی منطقه اروپا و دریای مدیترانه رخ نمی‌دهد، بی‌هنجری منفی بارش به طور گسترده بر روی ایران مشاهده می‌شود. نتایج نشان داد که وجود بی‌هنجری‌های منفی ارتفاع ژئوپتانسیلی و فشار در نواحی شرقی مدیترانه برای رخداد بی‌هنجری‌های MJO مثبت بارش کشور ضروری است. بجز در فاز یک MJO که با بی‌هنجری مثبت ارتفاع ژئوپتانسیلی در بخش شرقی مدیترانه، در نوار شمالی کشور، بی‌هنجری مثبت بارش مشاهده می‌شود، در سایر فازها در صورتی که بی‌هنجری منفی ارتفاع در بخش شرقی مدیترانه رخ دهد، می‌تواند در برخی از مناطق کشور بی‌هنجری مثبت بارش رخ دهد. هر چند که الگوی بارش در سواحل جنوبی دریای خزر از این قاعده پیروی نمی‌کند و بی‌هنجری‌های مثبت بارش در سواحل جنوبی دریای خزر فقط در فازهای یک تا سه رخ می‌دهد که مقدار افزایش از فاز یک به سه کاهش می‌یابد.

در حالتی که بی‌هنجری‌های شدید ارتفاعی به صورت دو قطبی‌های مداری در منطقه اروپا-آسیا ایجاد (مانند فازهای شش و هشت) و بی‌هنجری‌های منفی شدید نیمه شرقی مدیترانه را شامل شود، بیشینه بی‌هنجری‌های مثبت بارش در کشور، بویژه در نیمه غربی برخواهد داد. با توجه به آثار متقابل دور پیوند MJO بر بسامد بندال‌های روی اروپا و اطلس (هندرسون و همکاران، ۲۰۱۶)، بیشینه بی‌هنجری بسامدها در فازهای شش و هشت در روی اروپا و در فاز هفت بر روی اطلس رخ می‌دهد. افزایش بندال‌های روی غرب اروپا که با

هند، که با گذر از دریای عمان و خلیج فارس، در تغذیه رطوبتی بارش‌های جنوب ایران نقش مهمی دارند، مقایسه بی‌هنجری‌های باد ترازهای پایین وردسپهر همراه با چیرگی فازهای چهار و هشت MJO نشان می‌دهد که در زمان چیرگی فاز هشت، شرایط مناسب برای فعالیت ناوه مدیترانه و تغذیه رطوبتی بارش‌های کشور وجود دارد؛ در حالی که در زمان چیرگی فاز چهار، این شرایط مهیا نیست.

۴ نتیجه‌گیری

طی دوره مطالعه شده (ماه‌های دسامبر، ژانویه و فوریه دوره زمانی ۲۰۱۰-۲۰۰۰)، بسامد پدیده همرفت حاره‌ای، با شرط اینکه مقدار آن بزرگتر یا مساوی یک و حداقل پنج روز متوالی در یک فاز ثابت باقی بماند، متغیر و کمینه بسامد، مربوط به فاز یک MJO و بیشینه بسامد، مربوط به فاز پنج MJO است. بررسی بی‌هنجری‌های گردش جوی همراه شده با فازهای هشتگانه MJO نشان داد که بی‌هنجری الگوهای فشاری هر یک از این فازها متفاوت است و موقعیت، شدت و گستره تحت تأثیر این بی‌هنجری‌ها در هر فاز تغییر می‌کند. میزان این تغییرات در برخی مناطق، از جمله نواحی شرقی اطلس شمالی و اروپا، برای هر یک فازها شدت بیشتری دارد. بی‌هنجری‌های منفی و مثبت کمیت‌های ارتفاع ژئوپتانسیلی و میدان باد تراز ۵۰۰ هکتوپاسکال می‌تواند مبین امواج غالب هر فاز باشد که طی فازهای متوالی اغلب، علامت بی‌هنجری‌ها برای یک منطقه تغییر می‌کند. با توجه به بی‌هنجری‌های رخ داده در نواحی شرقی اطلس شمالی و غرب اروپا، به نظر می‌رسد بین دور پیوندهای NAO و MJO بر همکش‌های قابل ملاحظه‌ای رخ می‌دهد که بر الگوهای جوی منطقه مورد مطالعه تأثیرگذار است و با نتایج کاسیو (۲۰۰۸)، عالمزاده و همکاران (۱۳۹۲)، همخوانی دارد.

ناظم‌السادات، م. ج.، رستم‌پور، آ.، و شاهقلیان، ک.، ۱۳۹۵، الگوهای همدیدی در دوران همراه و بدون بارش همزمان با چیرگی فاز ۱ پدیده MJO: مطالعه موردنی جنوب باختری ایران، مجله ژئوفیزیک ایران، ۱۰(۱)، ۷۳-۸۷.

رنجبر سعادت‌آبادی، ع.، و ایزدی، پ.، ۱۳۹۲، ارتباط بین هنجاری‌های دمای آب سطح اقیانوس هند و دریای عرب با بین هنجاری‌های بارش نیمه جنوبی ایران: مجله فیزیک زمین و فضا، ۴۹(۴)، ۱۵۷-۱۳۵. نصر اصفهانی، م.، ۱۳۹۰، بررسی اثر NAO و MJO بر اقلیم جنوب غرب آسیا: رساله دکتری هواشناسی، مؤسسه ژئوفیزیک، ۱۳۷-۱۱۵.

نصر اصفهانی، م.، و احمدی گیوی، ف.، ۱۳۸۹، اثر همرفت اقیانوس هند بر برخی کمیت‌های هواشناختی در جنوب غرب آسیا: مجموعه مقالات چهاردهمین کنفرانس ژئوفیزیک ایران، مؤسسه ژئوفیزیک.

- Barlow, M., Cullen, H., and Lyon, B., 2002, Drought in central and southwest Asia: La Niña, the warm pool, and Indian Ocean precipitation: *Journal of Climate*, **15**, 697–700.
- Barlow, M., Wheeler, M., Lyon, B., and Cullen, H., 2005, Modulation of Daily Precipitation over Southwest Asia by the Madden-Julian Oscillation: *Monthly Weather Review*, **133**, 3579-3594.
- Bond, N. A., and Vecchi, G. A., 2003, The influence of the Madden-Julian oscillation on precipitation in Oregon and Washington: *Weather and Forecasting*, **18**, 600-613.
- Cassou, C., 2008: Intraseasonal interaction between the Madden-Julian Oscillation and the North Atlantic Oscillation: *Nature*, **455**, 523–527,
- Henderson, S. A., Maloney, E. D., and Barnes, E. A., 2016, The Influence of the Madden-Julian Oscillation on Northern Hemisphere Winter Blocking: *Journal of Climate*, **29**, 4597–4616.
- Hendon, H. H., and Salby, M. L., 1994, The life cycle of the Madden-Julian Oscillation:

چیرگی فازهای شش و هشت، همراهی می‌شود، می‌تواند در عمیق شدن ناوه مدیترانه و در نتیجه در تشدید بین هنجاری‌های منفی شدید در نیمه شرقی مدیترانه و بخشی از نواحی غرب آسیا نقش داشته باشد که با پیشینه بین هنجاری‌های مثبت بارش، بویژه در نیمه غربی ایران همراهی می‌شود.

با توجه به محدودیت مدل‌های پیش‌بینی عددی، امکان پیش‌بینی‌های یقینی با برد بیش از ۱۰ روز، محدود نمی‌باشد و پیش‌بینی‌های احتمالاتی به صورت ماهانه و فصلی به کار می‌رود؛ اما پیش‌بینی وضعیت MJO، تا بیش از چهار هفته امکان‌پذیر است؛ لذا این مطالعات می‌توانند رهیافت مهمی برای پر کردن شکاف بین پیش‌بینی‌های یقینی روزانه و احتمالاتی فصلی و ارائه پیش‌بینی‌های حدود چهار هفته‌ای کمیت‌های مانند بارش به حساب آید.

منابع

- عالیزاده، ش.، احمدی گیوی، ف.، محب‌الحجہ، ع. ر.، و نصر اصفهانی، م. ع.، ۱۳۹۲، تحلیل دینامیکی-آماری اثر متقابل نوسان اطلس شمالی (NAO) و نوسان مدن - جولیان (MJO): مجله ژئوفیزیک ایران، ۷(۴)، ۶۴-۸۰.
- غضنفری، الف.، ۱۳۸۸، مطالعه موردنی توزیع رطوبت و بارش بر روی کشور در زمستان ۱۳۸۶ و ارتباط احتمالی آن با همرفت MJO: پایان نامه کارشناسی ارشد هواشناسی، مؤسسه ژئوفیزیک.
- قائد امینی اسدآبادی، ح.، و ناظم‌السادات، م. ج.، ۱۳۹۱، ارزیابی نشان پدیده نوسان‌های مادن-جولیان بر رخداد بارش‌های روزانه استان‌های سیستان و بلوچستان و فارس: نشریه آب و خاک، ۶، ۱۳۷۲-۱۳۸۳.

- Madden R. A., and Julian, P. R., 1972, Description of global-scale circulation cells in the tropics with a 40–50 day period: *Journal of the Atmospheric Sciences*, **29**, 1109–1123.
- Madden, R. A., and Julian, P. R., 1994, Observations of the 40–50 day tropical oscillation: A review: *Monthly Weather Review*, **112**, 814–837.
- Martin, E. R., and Schumacher, C., 2011, Modulation of Caribbean Precipitation by the Madden–Julian Oscillation: *Journal of Climate*, **24**, 813–824.
- Matthews, A. J., Hoskins, B. J., and Masutani, M., 2004, The global response to tropical heating in the Madden–Julian oscillation during the northern winter: *Quarterly Journal of the Royal Meteorological Society*, **130**, 1991–2011.
- Riddle E. E., Stoner, M. B., Johnson, N. C., L'Heureux, M. L., Collins, D. C., and Feldstein, S. B., 2013, The impact of the MJO on clusters of wintertime circulation anomalies over the North American region: *Climate Dynamics*, **40**, 1749–1766.
- Wheeler, M. C., and Hendon, H. H., 2004, An All-Season Real-Time Multivariate MJO Index: Development of an Index for Monitoring and Prediction: *Monthly Weather Review*, **132**, 1917–1932.
- Xiaolong, J., Chen, L., Ren, F., and Li, C., 2011, Impacts of the MJO on Winter Precipitation and Circulation in China: *Advances In Atmospheric Sciences*, **28** (3), 521–533.
- Zhang, C., and Dong, M., 2004, Seasonality of the Madden-Julian Oscillation: *Journal of Climate*, **17**, 3169–3180.
- Zhang, C. D., 2005: Madden-Julian oscillation: *Reviews of Geophysics*, **43**, 1–36.
- Zhang, C., 2013, Madden–Julian Oscillation: Bridging weather and climate: *Bulletin of the American Meteorological Society*, **9**, 1849–1870.
- Zhou, S., L'Heureux, M., Weaver, S., and Kumar, A., 2012, A composite study of the MJO influence on the surface air temperature and precipitation over the Continental United States: *Climate Dynamics*, **38**, 1459–1471.
- Journal of the Atmospheric Sciences, **51**, 2225–2237.
- Jones, C., 2000, Occurrence of Extreme Precipitation Events in California and Relationships with the Madden–Julian Oscillation: *Journal of Climate*, **13**, 3576–3587.
- Jones, C., Waliser, D. E., Lau, K. M., and Stern, W., 2004, Global Occurrences of Extreme Precipitation and the Madden–Julian Oscillation: Observations and Predictability: *Journal of Climate*, **17**, 4575–4589.
- Jones, C. and Carvalho, L. M. V., 2010, Spatial-Intensity Variations in Extreme Precipitation in the Contiguous United States and the Madden-Julian Oscillation: *Science and Technology Infusion Climate Bulletin*, 211–214
- Johnson, N. C., Collins, D. C., Feldstein, S. B., L'HEUREUX, M. L., and Riddle, E. E., 2014, Skillful Wintertime North American Temperature Forecasts out to 4 Weeks Based on the State of ENSO and the MJO: *Weather and Forecasting*, **13**, 23–38.
- Hendon, H. H., and Salby, M. L., 1994, The life cycle of the Madden–Julian Oscillation: *Journal of the Atmospheric Sciences*, **51**, 2225–2237.
- Kalnay, E., and Coauthors, 1996, The NCEP/NCAR 40-Year Reanalysis Project: *Bulletin of the American Meteorological Society*, **77**, 437–471.
- Lau, K. M., and Wu, H. T., 2010, Characteristics of precipitation, cloud, and latent heating associated with the Madden–Julian oscillation: *Journal of Climate*, **23**, 504–518.
- Lin, H., Brunet, G., and Derome, J., 2009, An observed connection between the North Atlantic Oscillation and the Madden–Julian oscillation: *Journal of Climate*, **22**, 364–380.
- Lin, H., Brunet, G., Mo R., 2010, Impact of the Madden-Julian Oscillation on wintertime precipitation in Canada: *Monthly Weather Review*, **138**, 3822–3839
- Madden R. A., and Julian, P. R., 1971, Detection of a 40–50 day oscillation in the zonal wind in the tropical Pacific: *Journal of the Atmospheric Sciences*, **28**, 702–708.

A study of the impacts of the MJO on atmospheric circulations and winter precipitation in Iran

Abbas Ranjbar SaadatAbadi^{*1} and Masoumeh Soori²

¹ Assistant Professor, Atmospheric Science and Meteorological Research Center (ASMERC), Tehran, Iran

² M. Sc. Student of Meteorology, Islamic Azad University Tehran North Branch, Tehran, Iran

(Received: 14 November 2015, Accepted: 31 October 2016)

Summary

The Madden-Julian Oscillation (MJO) is the dominant mode of tropical intraseasonal variability, characterized by its planetary spatial scale, 30–60 day period, and eastward propagation. The extra-tropical links with the MJO are well established (Barlow et al., 2005). Such oscillation has an evident seasonality, with larger amplitude during boreal winter and spring than summer (Zhou et al., 2012). MJO can significantly modulate variations in weather and climate in the far-reaching subtropics and midlatitudes (Handerson et al., 2016). In this study, we examined the influence of the MJO on precipitation and large-scale circulation anomalies based on a 10-years daily data from 2000–2010. We further analyzed the atmospheric circulations, Iran precipitation data and their anomalies with respect to the real-time multivariate (RMM) Index phases of the MJO whose employed index was that developed by Wheeler and Hendon (2004), downloaded from the website of the Australia Meteorological Bureau. The MJO index data used in this research, considering that at least five consecutive days in a phase remained constant and its value was equal or more than 1, was extended from December 2000 to February 2010.

Daily precipitation data were obtained from 47 meteorological synoptic stations in Iran from December 2000 to February 2010. Furthermore, the grid point data were extracted from NCEP-NCAR reanalysis dataset. Daily anomalies of precipitation and other variables were calculated by subtracting their 11-year means from the original data. Composites of mean daily anomalies were computed for each of the eight phases of the MJO on the basis of the RMM index with the same MJO phases in boreal winter during 2000–2010.

Composites of the regional flow associated with the MJO phases during winter seasons were calculated by averaging fields of data over lists of dates obtained from the analysis of the MJO indices. Figures 2 to 6 display the composites of large-scale atmospheric circulations and precipitation anomalies for the eight MJO phases. It is very clear that winter large-scale atmospheric circulations and precipitation anomalies in Iran show meaningful and significant variations when the MJO propagates from the western Indian Ocean (phase 1) into the central Pacific Ocean (phase 8).

As is observed in the figures, winter precipitation in certain parts of Iran is higher than the 1981–2010 climate normals when the MJO is in phase 2, which is close to the mean; positive anomalies weaken over the country as we get closer to phase 3. When the MJO is in phases 4 and 5, precipitation anomalies are less than normal, with the maximum negative anomalies reaching around 100% relative to the mean. During such phases (4 and 5), associated with positive geopotential height anomalies over the eastern Mediterranean Sea, precipitation negative anomalies occur in the country. Winter precipitation in certain regions is much higher than the climate normal when the MJO is in phases 6 and 8. Further observed in these phases were the precipitation positive anomalies over the vast parts of western and southern slopes of the Alborz (from 30 to 150%). So, in these situations which associated with zonal dipole of geopotential heights anomalies over Eurasia where strong negative anomalies of geopotential heights were located over the eastern Mediterranean Sea and its neighborhoods areas, the precipitations over the most part of Iran are more than the climate normals.

Extrapolated from the foregoing data is the fact that the MJO influence on Iran precipitation is significant during northern winter season. When the MJO is in phases 6 and 8 (the convection increases over central and eastern Pacific Ocean), more precipitation is observed in the western regions of Iran. On the other hand, as enhanced tropical convection shifts over the Maritime continent, less precipitation is seen over the country. Therefore, owing to the broad tropical and extratropical impacts of the MJO on interseasonal timescales, a better understanding of the MJO is potentially conducive to the amelioration of the extended range forecast of week-two and beyond, practically when there is an on-going MJO event. Numerical and empirical model experiments have shown the potential predictability of MJO up to 4 weeks. In this study, the objective was to develop composites in order to provide a compendious, large-scale overview of MJO impact on the winter season circulations and precipitation in Iran.

Keywords: atmospheric patterns, precipitation anomalies, MJO, Iran

*Corresponding author:

aranjbar@gmail.com